

Markante Premeteo-Fehlprognosetage des Juni 2014

von Sylvia Dorn

1. Einleitung

Der Prognosenmonat Juni 2014 war ein Monat mit markanten Fehlprognosen, denen eine eigene Dokumentation gewidmet wird, weil sie den Bezug auffälliger Wetterlagen mit auffälligen kosmischen Strukturen um die Erde besonders beispielhaft zur Anschauung bringt.

Zwar lag der Juni 2014 bezüglich der zyklonalen und antizyklonalen Strömungen und dem Premeteo-Index-Vorzeichen mit 10 falsch und 20 richtig prognostizierten Tagen nur geringfügig unter dem Jahresdurchschnitt von 70%, aber eine Besonderheit war, dass der Premeteo-Index ab dem 8. Juni mit drei Ausnahmetagen immer im negativen Bereich verlief und in dieser Zeit doch neun Tage mit einer Hochdruckströmung auftraten, dass auch die flach zyklonalen Tage der zweiten Monathälfte hier im südwestdeutschen Raum meist keinen Niederschlag brachten und die Natur lokal in einen deutlichen Trockenheitsstress kam. Die realen, antizyklonalen Tage wiesen daher einen negativen Monatsmittelwert des Premeteo-Index auf, wie es seit fünf Jahren Premeteo-Indexprognosen nur im Mai 2009, August 2010 und November 2011 vorkam, in jenen Fällen aber nicht so stark ausgeprägt war wie in diesem Juni 2014.

Zusammenhängen diese Fehlprognosen mit den beiden Kuipergürtel-Kleinplaneten Haumea und Sedna, die sich weit außen im Sonnensystem bewegen und in dem Zeitraum von September 2004 bis August 2012 insgesamt 17-mal exakt einen Winkel von 144° im Verhältnis zur Erde bildeten, der in 14 Fällen mit einer antizyklonalen Wetterlage einherging.

Kepler hatte den Winkel von 144° als kosmisch relevanten Winkel eingeführt, geprägt von der Anschauung, dass der Raum autonome Strukturen besitzt. Er war aufgrund seiner eigenen astronomischen Forschungen und Wetterbeobachtungen während seiner Zeit in Prag (1600 bis 1612) zu der Überzeugung gekommen, dass für die Erde eine ganze Reihe von Winkelbeziehungen, die sogenannten Aspekte (= geozentrische Blickwinkel) für das atmosphärische Geschehen von Bedeutung sind. Nach den Regeln der Internationalen Astronomischen Union IAU werden heute üblicherweise elf Winkel in den Ephemeridentabellen ausgewiesen (30° , 45° , 60° , 72° , 90° , 120° , 135° , 144° , 150° , 180°), die auch das geometrische Grundlagensystem der Premeteo-Prognosen darstellen.

Im Zuge der Entwicklung der Newton'schen Physik nach Kepler ging das Verständnis für einen autonomen Raum weitgehend verloren, er wurde zum Vakuum, zu einem neutralen Hintergrund für alle Ereignisse. In der Philosophie war es Kant, der als erster die Subjektivität von Raum und Zeit 1769 erneut und modern denken konnte. Er erkannte in seiner Beschäftigung mit der Newton'schen Physik die grundlegende Bedeutung dieses Verlustes des Raums für die Physik und begründete dies in seiner Schrift „Die metaphysischen Anfangsgründe der Naturwissenschaft“ (1786), in der er für die Zukunft der Physik aufgrund dieser Tatsache große Probleme vorhersah. (Der bekannte Astrophysiker Harald Lesch hielt im Dezember 2013 im SWR2 bezeichnenderweise drei Vorträge mit dem dramatischen Titel „Zwischen Triumph und Tragödie – Die moderne Astrophysik und ihre Abgründe“.)

Erst nach mehr als hundert Jahren war es Albert Einstein mit der Allgemeinen Relativitätstheorie (1915) möglich die Subjektivität von Raum und Zeit physikalisch darzustellen und den Raum als autonomen Strukturträger wieder erfahrbar zu machen, indem es ihm gelang die Gravitation zu geometrisieren und die Folgen dieser Strukturen richtig zu prognostizieren. Aber zwischen der Gravitationsphysik und der Quantenphysik klafft bis heute tatsächlich der von Harald Lesch bezeichnete Abgrund.

Und heute, wieder hundert Jahre später, war es vor allem durch die wichtige Entdeckung der Kuipergürtel-Kleinplaneten und durch einen struktur-systemischen Ansatz mit insgesamt 21 repräsentativen Himmelskörpern des Sonnensystems und der Einbeziehung der Positionen des Galaktischen und Supergalaktischen Zentrums möglich, die Realität der von Kepler, Kant und Einstein postulierten, autonomen Raumstrukturen in einem neuen Zusammenhang zu sehen und konkret im täglichen Wetter einer Region erfahrbar zu machen.

Die Gase von Planetenatmosphären können aufgrund ihres raum-affinen Aggregatzustandes durch die Raumstrukturen lokal differenziert zu Strömungen angeregt und in ihrer thermodynamisch bedingten Strömungsweise verändert werden. Der Meteorologie kommt damit innerhalb der Physik eine neue Schlüsselfunktion zu. Auch für die Rhythmik der Sonnenflecken-tätigkeit konnten solche konstellationsbedingten Zusammenhänge durch den Systemansatz von Premeteo in einer Studie über 250 Jahre Sonnenfleckenbeobachtungen in Annäherungen dargestellt werden.

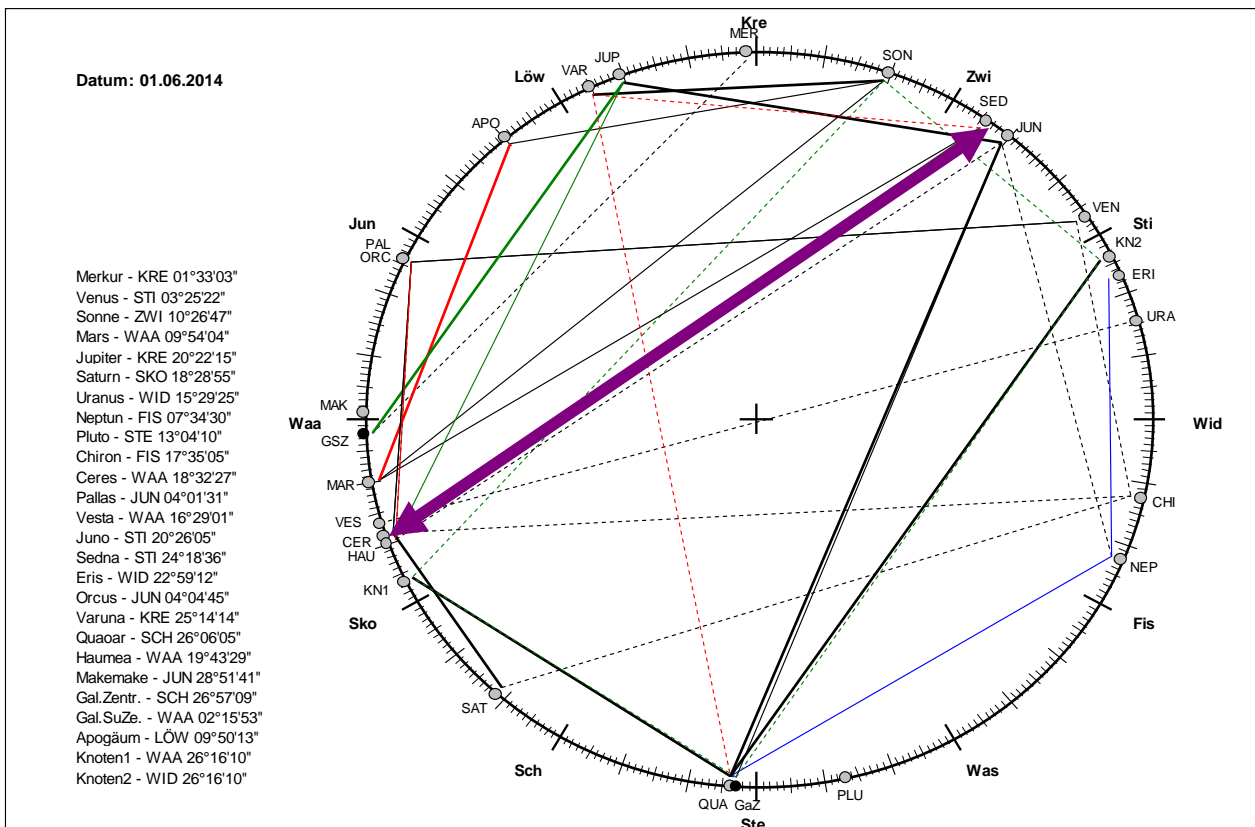
<http://www.premeteo.com/publikationen/sonnenfleckenforschung/Entwicklung-Premeteo-Sonnenfleckenindex-1750-2013.pdf>

2. Wetterlagenverlauf und Konstellationen

Der Juni 2014 wies eine Serie von Fehlprognosetage auf, deren besondere konstellatorische Ursache sich schon im Vormonat Mai mit einigen Fehlprognosetagen ankündigte.

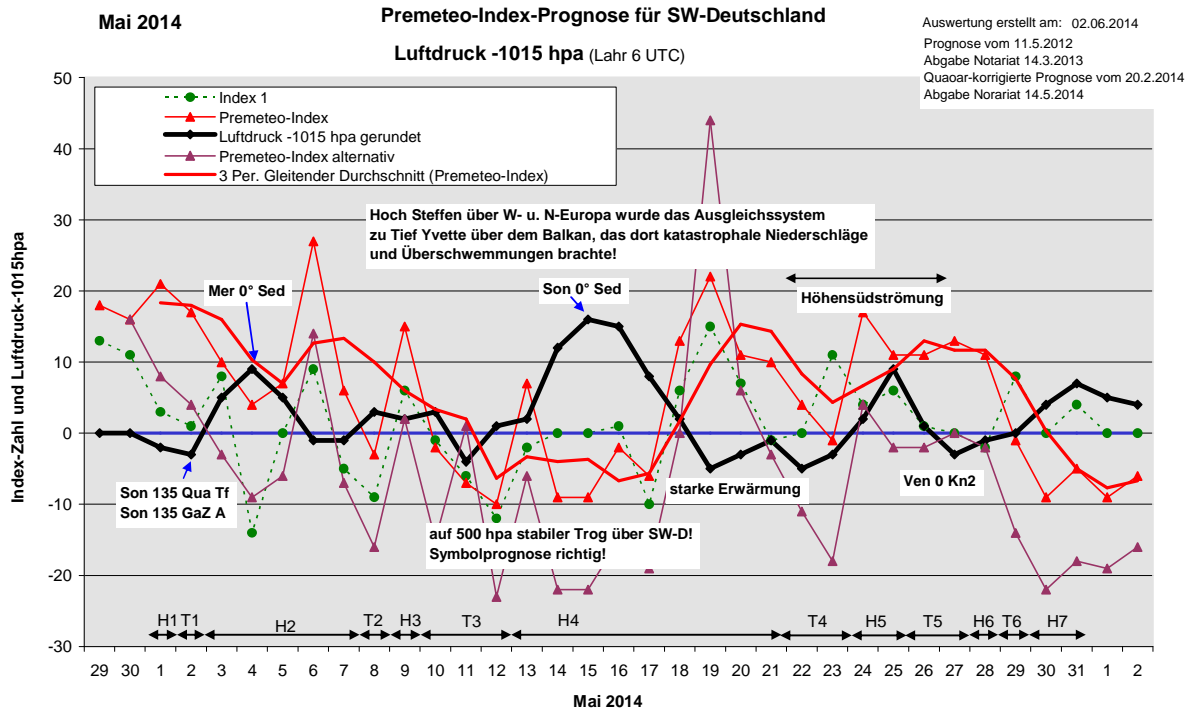
Kosmogramm 1 vom 1. Juni 2014 zeigt die Ausgangskonstellation des Monats mit der speziellen Winkelbeziehung zwischen den beiden sonnenfernen Kuipergürtel-Kleinplaneten Haumea (HAU) und Sedna (SED), die durch einen dicken, violetten Doppelpfeil markiert ist. Sedna und Haumea befinden sich von der Erde (= Mittelpunkt des Kosmogramms) aus gesehen in einem Winkel von etwa 145° zu einander, also nur in etwas über 1° Differenz zu dem kosmisch relevanten Aspekt-Winkel von 144°, der ein wichtiger Parameter des Premeteo-Prognose-Systems ist. Haumea 144° Sedna ist ein Aspekt, der erstmals 2004 auftrat und bis 2012 insgesamt 17-mal exakt wurde. Dabei wurde er in 14 Fällen bei einer Hochdruck- und nur in drei Fällen mit einer Tiefdruckwetterlage exakt. Er war daher als ein Aspekt mit einem kräftigen, antizyklonalen Impuls für die Atmosphäre Südwestdeutschlands eingestuft worden.

Kosmogramm 1: 1. Juni 2014



Da die Laufrichtung der Himmelskörper im Kosmogramm gegen den Uhrzeigersinn gerichtet ist, ist erkennbar, dass Merkur (MER) und Sonne (SON) schon im Mai mit Sedna in Konjunktion gekommen waren und ihn überholt hatten. Merkur und Sonne bewegen sich in einer verhältnismäßig raschen Relativbewegung um die Erde und als sie Sedna passierten, waren sie für einen Moment sowohl in einer 0°-Beziehung mit Sedna, als auch in einer 144°-Beziehung mit Haumea, die den Aspekt Haumea 144° Sedna aktivierten und jeweils einen kräftigen antizyklonalen Raumstruktur-Impuls auslösten, der deutlich im Verlauf der Luftdruckkurve des Mai 2014 erkennbar wurde, wie das nachfolgende Diagramm 1 zeigt.

Diagramm 1: Auswertung Premeteo-Prognose Mai 2014 und Luftdruckkurve Lahr 6 UTC



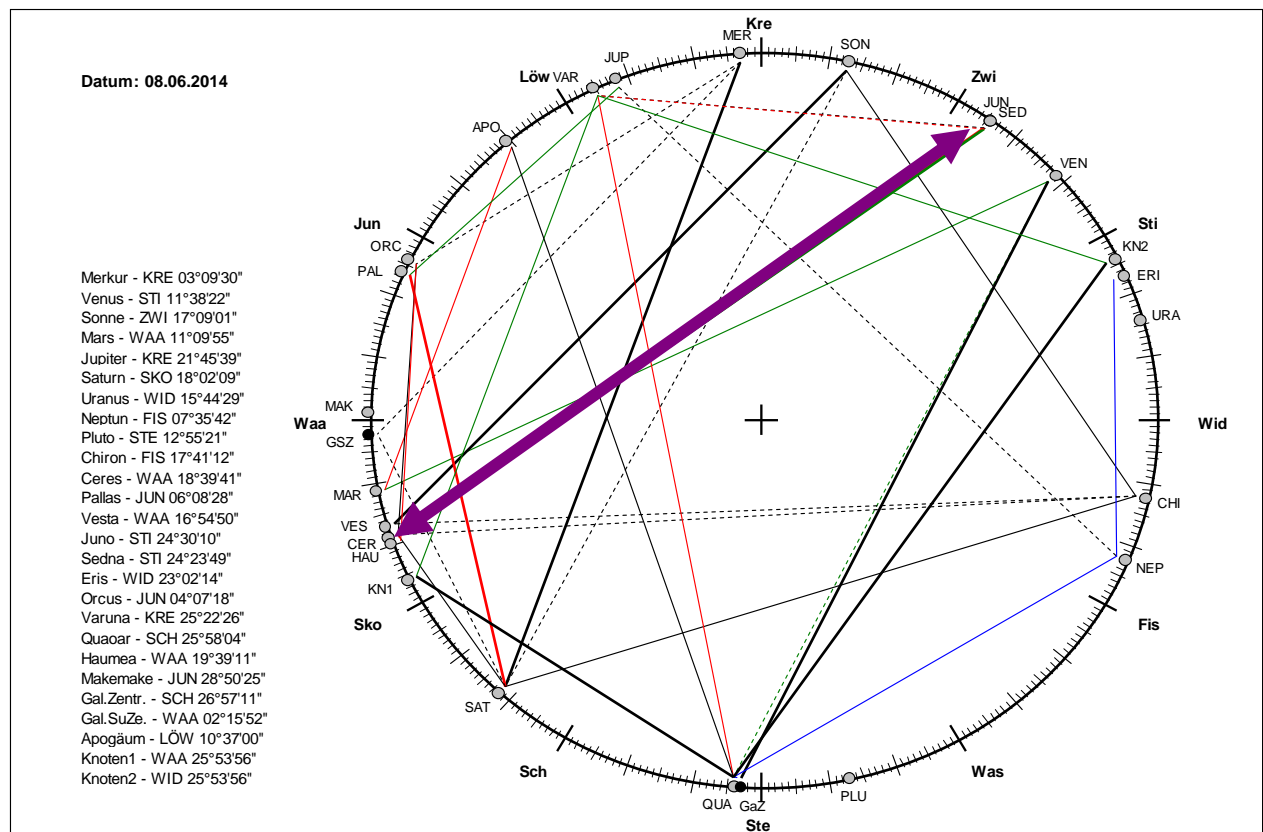
Am 4. Mai war Merkur und am 15. Mai die Sonne mit Sedna in Konjunktion getreten und die Luftdruckkurve war jedes Mal zu einem Maximum angestiegen und hatte sich dabei gegenläufig zum Premeteo-Index verhalten. Dieser wies nach unten bzw. verlief im negativen Bereich aufgrund der Konjunktionsauslösungen die gemäß den Prognoseregeln angerechnet werden mussten, weil die kurzzeitige Aktivierung von Haumea 144° Sedna H* als ranghöchstem Aspekt durch Merkur und Sonne von den Prognoseregeln nicht erfasst worden war, da der Winkel seine Toleranzgrenze innerhalb der Prognoseregeln mit über 145° geringfügig überschritten hatte. Eine eindeutige Schwachstelle des Prognosesystems, die bei Konjunktionen wahrscheinlich schon häufig Fehlprognosen verursacht hatte, aber nicht bemerkt worden war.

Erst durch die ganz markante Zuspitzung dieser besonderen Konstellation ab Pfingsten wurde diese Prognoseschwachstelle wirklich erkannt, als der Premeteo-Index am 8. Juni einen stark negativen Wert hatte und auf 500 hpa ein ausgeprägter Vorstoß eines Höhenkeils vom Mittelmeer her erfolgte. Wie Kosmogramm 2 auf der nächsten Seite zeigt, war Juno in exakte Konjunktion mit Sedna getreten und aktivierte auf gleiche Weise wie Merkur und Sonne im Mai zuvor nun Haumea 144° Sedna H*.

Wie Kosmogramm 2 weiter zeigt, begann nun auf der Seite Haumeas zugleich auch der Asteroid Ceres ab dem 8. Juni mit Haumea in Konjunktion zu treten und bildete zeitgleich auch den 144°-Aspekt zu Sedna, so dass die Aktivierung Haumea 144° Sedna H* sich bis zum 20. Juni fortsetzte. Erst dann verließ die Winkelbeziehung Ceres 144° Sedna den 1°-Toleranzbereich und der Asteroid Vesta

übernahm dafür die Rolle von Ceres. Vesta trat in Konjunktion mit Haumea und aktivierte nun ebenfalls Haumea 144° Sedna H*, so dass die südwestdeutsche Atmosphäre – neben den anderen Impulsaspekten - einem sehr lang andauerndem antizyklonalen Impuls von hohem Rang ausgesetzt war. Die Luftdruckverteilung über Europa zeigte nach Pfingsten, wo es in Westdeutschland zu extremen Gewittern mit Orkan gekommen war, während dieser ganzen Zeit auffallend stabile Strukturen. Der Luftdruck verlief tagelang kontinuierlich auf einem Niveau um 1019 hpa, er „schnürte“ regelrecht und lokal kam es in Südwestdeutschland zu großer Trockenheit.

Kosmogramm 2: 8. Juni 2014



Wenn der Aspekt Haumea 144° Sedna mit seinem H*-Impuls noch nicht bekannt gewesen wäre, an all den oben beschriebenen Vorgängen hätte man ihn ganz eindeutig als antizyklonalen Impuls identifizieren können. So bedauerlich Fehlprognosen sind, in diesem Fall haben sie nun wieder ganz besonders eindrücklich den kosmischen Zusammenhang der südwestdeutschen Atmosphärenströmungen mit den Raumstrukturen belegt!

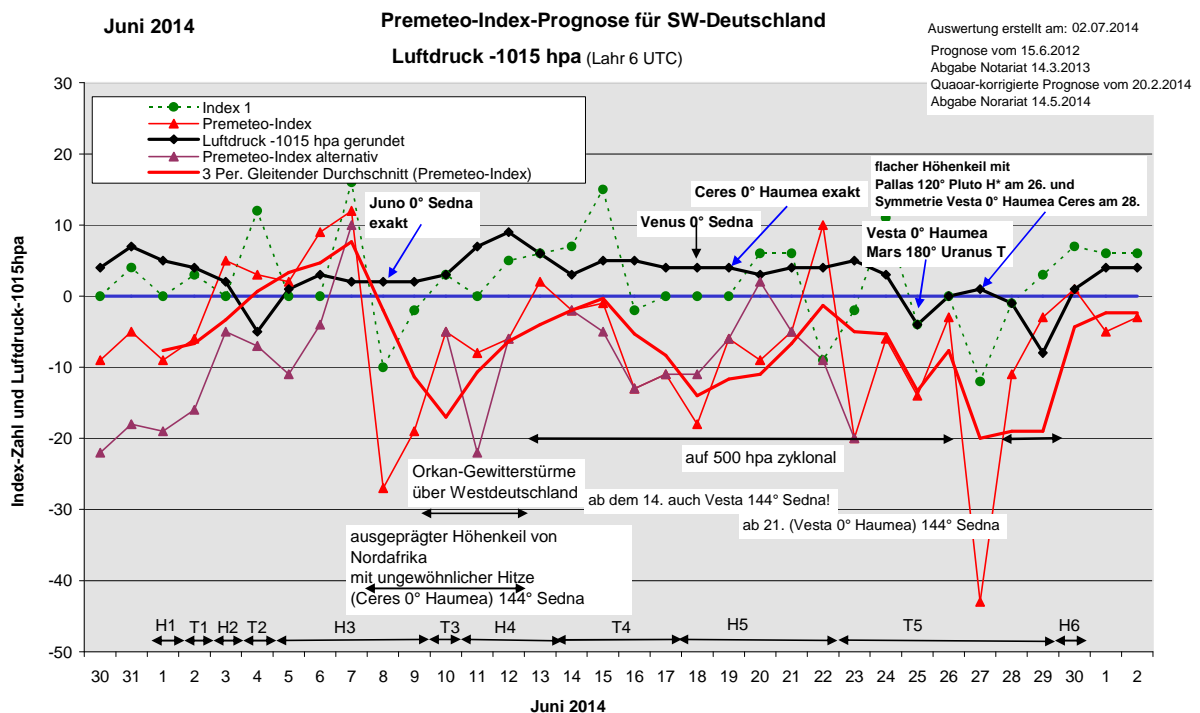
Diagramm 2 zeigt auf der folgenden Seite den Verlauf von Luftdruck und Premeteo-Index für den Juni 2014. Ab dem 22. kam, wie aus den am Ende angefügten Prognosetabellen ersichtlich, der Aspekt Haumea 144° Sedna wieder in den 1°-Exaktheitsbereich, d.h. er wurde durch das Prognose-Programm des Index 3 in diesem ab dem 22. automatisch ausgewiesen durch die Konjunktion von Vesta mit Haumea. Ab dem 23. ist dann die Premeteo-Prognose wieder stimmig mit dem realen Wetterlagenverlauf.

Diagramm 2 zeigt aber auch, dass in dem Zeitraum zwischen dem 8. und 22. Juni nicht alle Tage als Fehlprognosetage angerechnet werden mussten. Am 10., als der geglättete Premeteo-Index ein Minimum zeigte, war die Strömung kurzzeitig zyklonal, und auch vom 14. bis 27. Juni, als sich der geglättete Premeteo-Index in absteigendem Verlauf befand, lag Südwestdeutschland in einem flachen, zyklonalen Isobarenbereich, obwohl sich das

Luftdruckniveau nicht verändert hatte und es überwiegend trocken blieb. Ab dem 18. mit der aufsteigenden geglätteten Kurve waren wieder vier Fehlprognosestage zu verzeichnen bis zum 22. Juni.

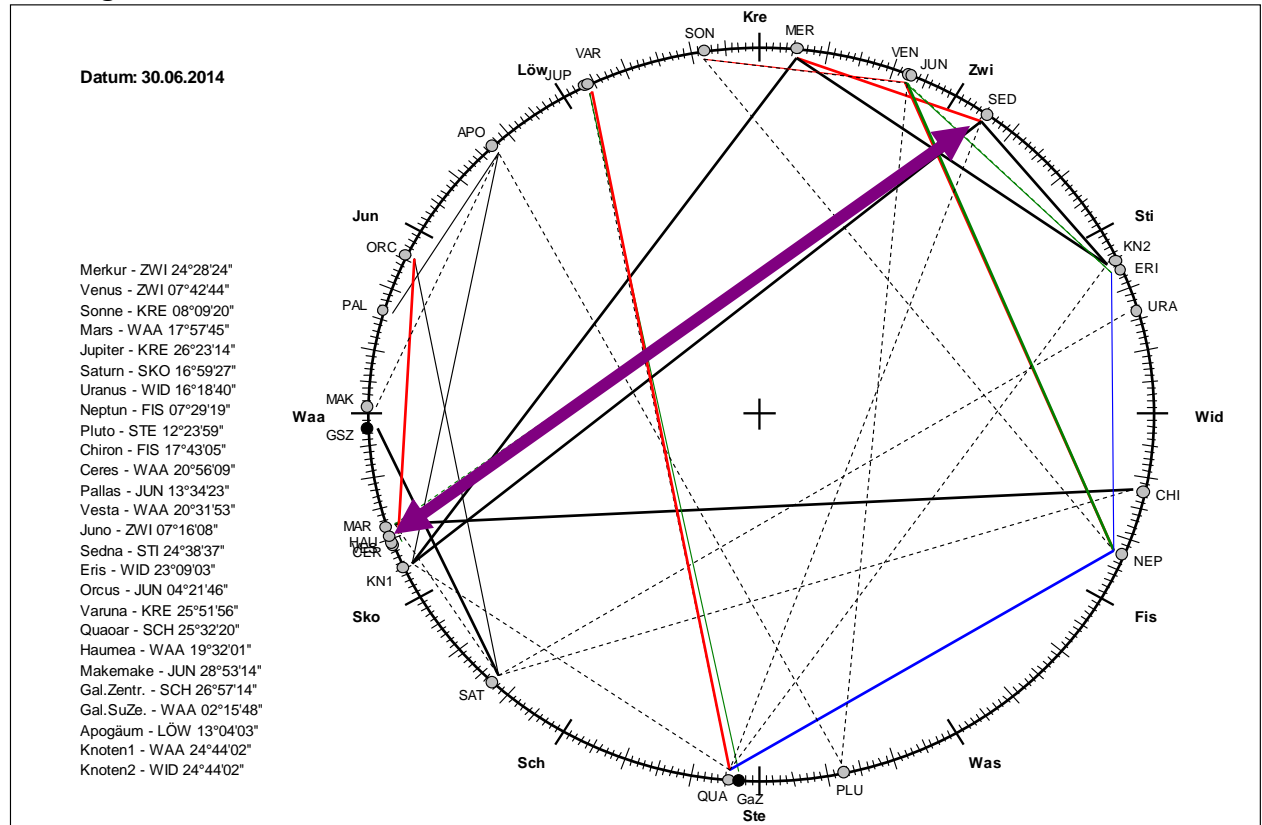
Wie oben erwähnt war Haumea 144° Sedna ab dem 22. wieder im Exaktheitsbereich von $\pm 1^\circ$ und die Region kam nun wie vom Premeteo-Index prognostiziert in eine zyklonale Phase durch die Konjunktion von Jupiter mit Varuna und ihrem in Index 3 aktivierten T*-Aspekt Varuna 150° Quaoar. Als aber am 25. Juni Vesta in exakte Konjunktion mit Haumea kam, war auf dem Satellitenbild wieder im Sinne einer Antizyklonalisierung ein deutlicher Bewölkungsrückgang zu bemerken.

Diagramm 2: Auswertung Premeteo-Prognose Juni 2014 und Luftdruckkurve Lahr 6 UTC



Am 27. zeigte der Premeteo-Index einen steilen Abfall in den negativen Bereich auf -43. Dabei kamen -21 Punkte aus den Symmetrien und die Nachkontrolle ergab, dass die Teilungssymmetrie Merkurs von Varuna 60° Sedna T* (siehe Prognosentabellen im Anhang) nicht mehr hätte angerechnet werden dürfen, da dieser Aspekt seit dem 11. nicht mehr im 1°-Exaktheitsbereich lag, sondern nur Jupiter 60° Sedna, der keinen Impuls trägt. Das war hier übersehen worden. Der Premeteo-Index läge dann aber immer noch bei -29 Punkten und es hätte sich an der Prognose nichts wesentlich geändert. Mit Pallas 120° Pluto H* um 22 UTC des 26. und der Konjunktionssymmetrie Vesta 0° Haumea Ceres am 28. (siehe Prognosentabellen im Anhang) bewegte sich ein Höhenkeil über die Region und ließ den Luftdruck am 27. ein wenig ansteigen, statt fallen. Das Satellitenbild zeigte um 18 UTC aber dennoch deutlich mehr Bewölkung als am Vortag. Die zyklonale Lage blieb in der Bodenschicht erhalten und vertiefte sich noch mal am 29. und brachte den lokal sehr ersehnten Niederschlag.

Kosmogramm 3: 30. Juni 2014



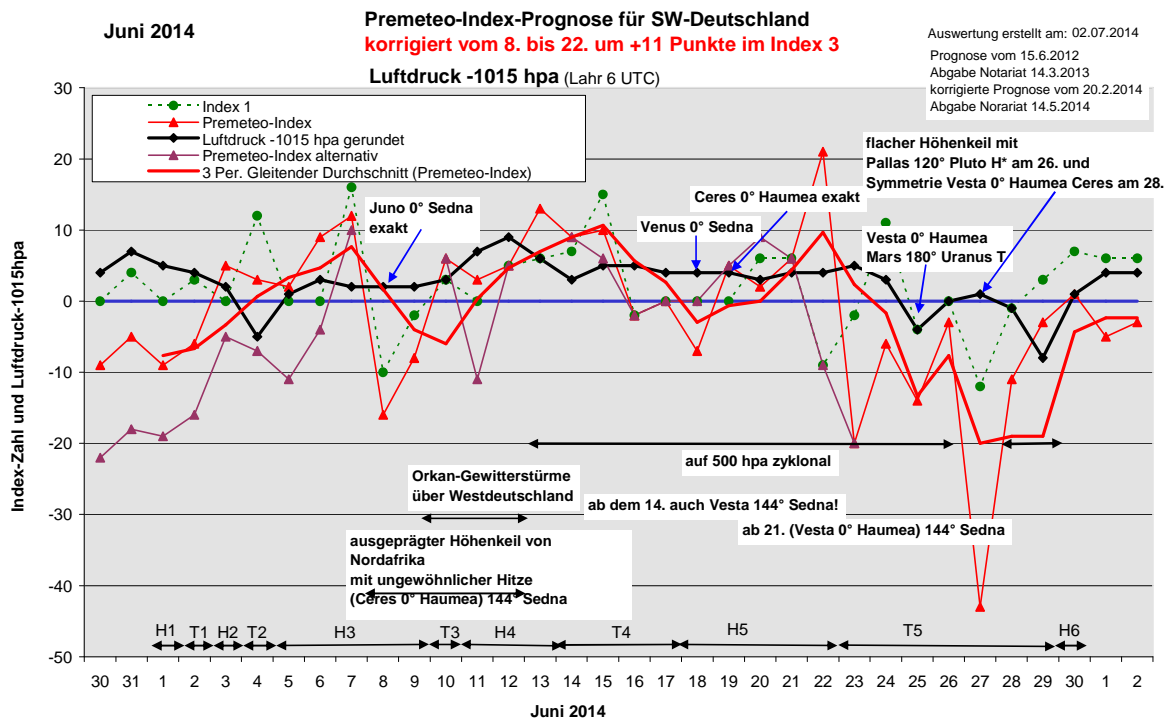
Das Kosmogramm vom 30. Juni zeigt, dass nun auch noch Mars die Dreier-Konjunktion von Haumea-Vesta-Ceres passieren wird, so dass ab dem 2. Juli 2014 eine Vierer-Konjunktion vorliegen wird, und ein deutlicher Antizyklonalisierungsimpuls durch Haumea 144° Sedna H* zu erwarten ist.

Haumea 144° Sedna wird nicht mehr völlig exakt werden, diese Winkelbeziehung löst sich für dieses Jahrhundert auf und so kann die Betonung durch die Vierer-Konjunktion als ihre „Abschiedsvorstellung“ angesehen werden.

Auf der folgenden Seite ist nun das Auswertungswertungsdiagramm Juni 2014 vom 8. bis zum 22. um +11 Punkte, die dem Wert des Aspekts Haumea 144° Sedna entsprechen, im Index 3 korrigiert. Man sieht, dass der Premeteo-Prognose-Index jetzt viel besser an den Verlauf der Luftdruckkurve angepasst erscheint. Zählt man nun für den ganzen Monat die richtigen und falschen Tage bezüglich des Premeteo-Index-Vorzeichens und der Wetterlage aus, so ergibt sich das Verhältnis 22 : 8, das keine dramatische Verbesserung zum unkorrigierten Ergebnis 20 : 10 darstellt. Grund hierfür ist, dass Haumea 144° Sedna sich in dem korrigierten Zeitraum doch außerhalb der Toleranzgrenze $\pm 1^\circ$ befand und die zyklonalen Impulse, die in der originalen Prognose dadurch vorherrschen, tatsächlich in der Atmosphäre, besonders in der Höhe, anwesend waren.

Das Bogenmaß 1° des 360° -Kreises hat sich in allen Premeteo-Prognosen als wichtige, reale, kosmische Maßeinheit bei den Toleranzgrenzen bewährt.

Diagramm 3: nachträglich korrigierte Auswertung Premeteo-Prognose Juni 2014 und Luftdruckkurve Lahr 6 UTC



Die Symbolprognose hätte sich auch leicht verbessert mit nur 2 falschen Tagen, 13 richtigen Tagen und 14 tendenziell richtigen Tagen.

Auf den letzten Seiten sind noch die originalen und die korrigierten Prognosetabellen angehängt. In den originalen Tabellen ist die Zeile des Index 3 vom 1. bis 7. Juni hellrot hinterlegt. Dies war eine Korrektur, die schon im Februar wegen der Quaoar-Konjunktion mit dem Galaktischen Zentrum eingeführt worden war.

In der neu korrigierten Tabelle ist im Index 3 vom 8. bis 22. Juni 2014 die Schrift der eingetragenen Korrekturen in Rot ausgeführt.

02.06.2014

Juni 2014



Prognose für SW-Deutschland
 mit Korrektur Quaoar-Aspekten
 vom 20.02.2014
 (rot hinterlegte Zellen)

Der Juni 2014 beginnt mit Pal 0 Orc (bis zum 4.) und Qua 0 GaZ (bis zum 8.) und den entsprechenden Auslösungen, wobei die antizyklonale Auslösung von Kn1 60 GaZ im alternativen Index 3 weggelassen wurde.
 Vom 7. bis 9. ist Juno in Konjunktion mit Sedna.
 Am 8. beginnt Cer 0 Hau mit negativen Auslösungen, die den ganzen, restlichen Monat bestimmen. Am 21. tritt noch Vesta zu dieser Konjunktion hinzu, so dass vom 21. bis zum 27. eine Dreifachkonjunktion vorliegt.
 Ab dem 23. kommt Jupiter in Konjunktion mit Varuna und löst Var 150 QUA T* aus.

01.06.2014

Langsamläufer-Impulse	H*			H*			T*	T*		
Schnellläufer-Impulse	H			H			Hf, 2H		T	H
Temperaturimpulse	W?*			W			K, W?	2K	2W	K
Premeteo-Index -zyklonal, + antizyklonal (Index 1+2+3)	-9	-6	5	3	2	9	12	-27	-19	-5
Pre.IX (ALTERNATIV)	-19	-16	-5	-7	-11	-4				
Index 1 (12 - 12 UTC) exakte Aspekte des Tages	0	3	0	12	0	0	16	-10	-2	3
Index 1 (ALTERNATIV)										
Symmetrien (0 - 0 UTC)			Jun 145 Ves GaZ (07) HP* A* W? A* +14		Ven 16 Sed Eri (12) ? 0 Mar 75 Var Qua (14) Tat* -/	Pal 44 Jup Hau (23) H* A* H* +7	Var 76 Ven Mar (11) HK ---	Mar 9 Hau GSZ (01) H A +77 Mar 37 Sat Orc (15) A*(05) --- Sat 6op Ven Jun (23) A K H* +7?	Mar 76 Var GaZ (00) ? ---	Ven 136 Mak GaZ (02) A A W T? ---
Index 2 (12 - 12 UTC)	0	0	14	0	0	7	0	0	0	0
Index 2 ALTERNATIV										
ausgelöste LL-Aspekte	Orc 45 Hau T-11 Kn1 60 GaZ H13 (Kn2 120 GaZ H13) Var 150 Qua T*-11	Orc 45 Hau T-11 Kn1 60 GaZ H13 (Kn2 120 GaZ H13) Var 150 Qua T*-11	Orc 45 Hau T-11 Kn1 60 GaZ H13 (Kn2 120 GaZ H13) Var 150 Qua T*-11	Orc 45 Hau T-11 Kn1 60 GaZ H13 (Kn2 120 GaZ H13) Var 150 Qua T*-11	Kn1 60 GaZ H13 (Kn2 120 GaZ H13) Var 150 Qua T*-11	Kn1 60 GaZ H13 (Kn2 120 GaZ H13) Var 150 Qua T*-11	Cer 144 Sed H5 Var 60 Sed T-11 Ven 135 Qua T* +2	Cer 144 Sed H5 Var 60 Sed T-11 Orc 45 Hau T-11	Cer 144 Sed H5 Var 60 Sed T-11 Orc 45 Hau T-11	Son 120 Hau H3 Orc 45 Hau T-11
Index 3 (Summe)	-9	-9	-9	-9	2	2	-4	-17	-17	-8
Index 3 ALTERNATIV	-19	-19	-19	-19	-11	-11				
Symbol-Prognose	3	3	3	3	3	3	2	5	5	3
Symbol-Prognose altern.	5	5	3	3	3	3	2	5	5	3
Wochentag	So	Mo	Di	Mi	Do	Fr	Sa	Sa	Mo	Di
Datum	1	2	3	4	5	6	7	8	9	10
reale Wetterlage	H1: H*, H / -9	T1: - / -6	H2: +5	T2: H*, H / +3	H3: Hf, 2H - 2T*, T / -23					T3: H / -5
Luftdruck (hpa) 06 UTC	1020,3	1018,9	1016,5	1009,8	1015,6	1017,7	1016,6	1017,4	1017,1	1017,8
mittl. Temp. (°C)	16	13,9	17,1	15,6	15,9	19,1	23,7	25,8	28,2	26,6
Sonnenscheindauer (h)	4,9	7,8	8,1	2,2	10,1	14,2	13,6	14,5	14,3	9,6
Niederschlag (Liter)	0	0	0	2,5	0	0	0	0	0,2	0
Bodenwetterlage 00 UTC (Kernlage des Druckgebiets, das SW-D beeinflusst)	Azorenhoch	fl T-P von Mittelerraum	H ü Alpen	Okklusion ü Ärmel	H ü Bisk	H ü S-D	H mit Kern ü N-Polen u N- Italien	H ü Alpen, H ü Polen	H ü Alpen u Polen, H ü Bisk	T ü GB, fl Trog ü N- u W-D
Bodenströmung 12 UTC zyklonal (z), antizyklonal (a)	z	z	fl a	fl z	fl a	a-z	a-z	z	a-z	a-z
Strömung auf 500 hpa 00 UTC	N a-z	NW z	NW a-z	W a-z	SW z	W a-z	Sw fl a	SW a	SW a	a
zutreffende Wettersymbole	3-5 hr	3 r	3 r	3-5 r	2 hr	2 hr	2 r	2 f	2 f	2 hr

Übertrag: 04:30 05:22 06:48 13:17 03:06 01:45 00:57 06:24 01:41 03:36

Index 1: 0
 Index 2: 0

PAL 0 ORC JUN 04*04*48* JUN 04*04*48* H* ---	VEN 144 FY9 STI 04*51'22* JUN 28*51'23* A	PAL 45 EL6 JUN 04*41'59* WAA 19*41'59* A*	VEN 60 NEP STI 07*35'20* FIS 07*35'19* H W +2	VEN 144 GSZ STI 08*15'53* WAA 02*15'53* A W	VEN 72 JUP STI 09*22'24* KRE 21*22'24* A	VEN 90 APO STI 10*30'35* LOW 10*30'35* H K +8	VEN 135 GaZ STI 11*57'11* SCH 26*57'11* A W	VEN 120 PLU STI 12*53'56* STE 12*53'57* T K -2	MER 135 SAT KRE 02*54'30* SKO 17*54'30* A W?
VEN 120 ORC STI 04*04*53* JUN 04*04*55* A	MER 90 GSZ KRE 02*15'53* WAA 02*15'53* A	SON 150 PLU ZWI 13*00'53* STE 13*00'54* A	VES 144 JUN WAA 16*40'21* STI 22*40'21* H* +10 ↑	JUN 30 ERI STI 23*01'11* WID 23*01'11* A*	SON 60 URA ZWI 15*41'21* WID 15*41'21* A K	VEN 135 QUA STI 10*58'43* SCH 25*58'43* H +4	CER 144 JUN WAA 18*40'24* STI 24*40'23* T* -5	VEN 72 VAR STI 13*24'15* KRE 25*24'16* A	JUN 150 KN1 STI 25*46'56* WAA 25*46'56* A*
VEN 120 PAL STI 04*13'35* JUN 04*13'34* A				QUA 60 KN1 SCH 26*00'26* WAA 26*00'26* A*	MER 135 SAT STI 11*03'37* SKO 18*07'43* A W?	VEN 150 MAR STI 11*03'37* WAA 11*03'36* HK +4	SON 90 CHI STI 17*41'34* FIS 17*41'35* A W	JUN 60 VAR STI 25*24'20* KRE 25*24'20* A*	JUN 150 QUA STI 25*55'13* SCH 25*55'13* A*
SON 135 KN1 ZWI 11*13'36* WAA 26*13'35* H +3						SAT 72 PAL SKO 18*03'11* JUN 06*03'10* T* -5	SON 150 SAT ZWI 17*59'02* SKO 17*59'01* A	SON 120 CER ZWI 18*44'08* WAA 18*44'08* A	SON 120 EL6 ZWI 19*37'49* WAA 19*37'50* H +3
JUN 144 GaZ STI 20*57'10* SCH 26*57'09* A* W?*						SON 120 VES ZWI 16*53'23* WAA 16*53'24* A	VEN 135 FY9 STI 13*50'16* JUN 28*50'15* A	QUA 135 APO SCH 25*54'56* LOW 10*54'56* A*	
						JUN 0 SED STI 24*23'41* STI 24*23'41* A*		JUN 144 EL6 STI 25*38'10* WAA 19*38'09* A*	

Juni 2014
 Prognose für SW-Deutschland
 mit Korrektur Quaoar-Aspekten
 vom 20.02.2014
 (rot hinterlegte Zellen)

Der Juni 2014 beginnt mit Pal 0 Orc (bis zum 4.) und Qua 0 GaZ (bis zum 8.) und den entsprechenden Auslösungen, wobei die antizyklonale Auslösung von Kn1 60 Gaz im alternativen Index 3 weggelassen wurde.
 Vom 7. bis 9. ist Juno in Konjunktion mit Sedna.
 Am 8. beginnt Cer 0 Hau mit negativen Auslösungen, die den ganzen, restlichen Monat bestimmen. Am 21. tritt noch Vesta zu dieser Konjunktion hinzu, so dass vom 21. bis zum 27. eine Dreifachkonjunktion vorliegt.
 Ab dem 23. kommt Jupiter in Konjunktion mit Varuna und löst Var 150 QUA T* aus.

Langsamläufer-Impulse		H*	2H*	H*	H?*				2T*, H*	H*
Schnellläufer-Impulse		T, H		3T, H	T				T, 4H	2H
Temperaturimpulse		W*	K, W	K		W	W	2W	K	
Premeteo-Index -zyklonal, + antizyklonal (Index 1+2+3)	-8	-6	2	-2	-1	-13	-11	-18	-6	-9
Pre.IX (ALTERNATIV)	-22				-5			-11		-2
Index 1 (12 - 12 UTC) exakte Aspekte des Tages	0	5	6	7	15	-2	0	0	0	6
Index 1 (ALTERNATIV)					4					
Symmetrien (0 - 0 UTC)	Qua 150 Jun Var (05) A* Tst* A* 0/14	Ura 40p Mar Hau (02) T H? (51,5) ? GaZ 50p Son Mer A T -7?	Jun 135 Mar Plu (09) A H* A+7	Var 67 Ven GSZ (00) H --- Nep 72 Ven Qua (13) A W? ? A ? Ura 30p Mar Cer (18) T A* -7	Son 29 Jun Sed (00) T K A A* -7 Sed 4 Ven Jun (07) H W A* 0/ +7	Son 30 Var Sed (06) A A T* (0,5/4) ---	Ven 37 Ura Mer (14) H ---	Hau 40p Ura Eri (03) H? (51,5) ? ? Ura 20p Mar Ves (08) T A* -7/0 Qua 72 Mar Nep (13) A ? A W ? 0/7	Son 72 Ura Pal (07) H T A* +7?	Qua 150 Ven Var (00) A Tst* H-14 Cer 40p Ura Eri (08) A* H* 0/7 Mer 72 Ura Pal (15) H A A* +7
Index 2 (12 - 12 UTC)	0	0	7	0	-7	0	0	-7	0	-7
Index 2 ALTERNATIV	-14				0			0		0
ausgelöste LL-Aspekte	Son 120 Hau H3 Orc 45 Hau T-11	Orc 45 Hau T-11	Orc 45 Hau T-11	Ven 150 Hau H2 Orc 45 Hau T-11	Ven 150 Hau H2 Orc 45 Hau T-11	Orc 45 Hau T-11	Orc 45 Hau T-11	Orc 45 Hau T-11	Cer 144 Sed H5 Orc 45 Hau T-11	Son 90 Mak H3 Orc 45 Hau T-11
Index 3 (Summe)	-8	-11	-11	-9	-9	-11	-11	-11	-6	-8
Index 3 ALTERNATIV										
Symbol-Prognose	3	3	3	3	3	5	5	5	3	3
	5	3	3	3	3	5	5	5	3	3
Wochentag	Mi	Do	Fr	Sa	So	Mo	Di	Mi	Do	Fr
Datum	11	12	13	14	15	16	17	18	19	20
reale Wetterlage	H4: 3H*, H-T / -12			T4: 4T - H*, H?*, H / -27				H5: 3H*, 7H - T*, 2T*, 3T / -28		
Luftdruck (hpa) 06 UTC	1022,4	1024,2	1020,5	1018,1	1019,6	1019,6	1019	1019	1019,1	1018,1
mittl. Temp.(°C)	24,6	23,1	21,1	17,2	17,4	17,8	16,2	19,2	18,2	16,6
Sonnenscheindauer (h)	13,6	11,6	11,1	9,2	9,2	12,2	10,4	11,6	10,8	4,1
Niederschlag (Liter)	0	0	0	0	0	0	0,5	0,5	0	0
Bodenwetterlage 00 UTC (Kernlage des Druckgebietes, das SW-D beeinflusst)	H ü W-F	H ü GB	H ü GB	fl Trog von Isl ü GB, Benel, D H ü O-Atl	H ü O-Atl-GB, T ü M-Mm	fl T ü M-Mm, H ü O-Atl-GB	SW-D zw H ü GB u T ü ThyrrM rei mittags ü SW-D	H westlich GB	H westlich GB	H westlich GB
Bodenströmung 12 UTC zyklonal (z), antizyklonal (a)	fl a	a-z	a	a-z	fl z	fl z	fl z	a-z	a	a-z
Strömung auf 500 hpa 00 UTC	Swa	a	NW fl z	NW z	NO fl z	NO fl z	N fl z	fl z	fl z	NW fl z
zutreffende Wettersymbole	2-3 hr	3 r	2 hr	3 r	3 r	2-3 f	2-5 hr	2-3 f	2 hr	3 r

13:56	02:13	04:06	01:10	02:14	05:27	00:52	00:45	02:34	00:01
VEN 30 URA STI 15°51'26" WID 15°51'26" A	JUP 135 NEP KRE 22°35'41" FIS 07°35'41" A* W*	VEN 60 CHI STI 17°44'02" FIS 17°44'02" A	PAL 135 ERI JUN 08°04'33" WID 23°04'33" A	VAR 90 KN1 KRE 25°31'24" WAA 25°31'24" H? (9,5/4,5) +11/0	CER 45 ORC WAA 19°11'37" JUN 04°11'37" A*	CHI 72 JUN FIS 17°45'11" STI 29°45'11" A*	SON 45 APO ZWI 26°44'02" LOW 11°44'03" A	SON 72 PAL ZWI 27°45'39" JUN 09°45'39" T ---	Gaz 135 APO SCH 26°57'13" LOW 11°57'13" H* +12
	05:12	04:10	03:19	05:20	16:12	01:03	05:31	07:38	02:23
	JUN 150 GaZ STI 26°57'12" SCH 26°57'11" H* +5	VEN 180 SAT STI 17°44'14" SKO 17°44'14" AK	SON 30 JUP ZWI 23°01'01" KRE 23°01'00" T K -3	CHI 150 VES FIS 17°44'45" WAA 17°44'45" A*	SON 120 KN1 ZWI 25°26'21" WAA 25°26'22" A W	SON 180 QUA ZWI 25°47'28" SCH 25°47'28" A	CHI 144 APO FIS 17°45'23" LOW 11°45'23" A*	URA 45 JUN WID 16°04'42" ZWI 01°04'41" T* -5	URA 144 PAL WID 16°05'53" JUN 10°05'53" A*
	12:35	05:27	04:49	11:01	18:14	08:07	06:16	10:38	05:50
MER 90 GSZ KRE 02°15'51" WAA 02°15'51" A	SAT 120 CHI SKO 17°44'03" FIS 17°44'03" A	SON 60 ERI ZWI 23°04'35" WID 23°04'36" A	JUN 120 FY9 STI 28°50'14" JUN 28°50'13" A	JUN 72 APO STI 29°35'33" LOW 11°35'33" A*	MAR 144 NEP WAA 13°34'52" FIS 07°34'52" A W	SON 180 GaZ ZWI 26°57'12" SCH 26°57'13" A	SON 72 URA ZWI 28°04'54" WID 16°04'53" H +3	SON 90 FY9 ZWI 28°50'42" JUN 28°50'43" H +3	
	13:39	05:55	06:27	16:18	19:15	10:36	09:17	11:18	06:13
NEP 180 PAL FIS 07°35'39" JUN 07°35'39" A*	SON 72 ORC ZWI 22°09'54" JUN 04°09'54" A	VEN 150 CER STI 19°01'50" WAA 19°01'49" T ---	SON 30 SED ZWI 24°29'18" STI 24°29'18" A	SON 30 VAR ZWI 25°33'38" KRE 25°33'38" A	MER 30 JUN ZWI 29°59'18" STI 29°59'19" A	VEN 60 JUP STI 23°54'12" KRE 23°54'12" A	MER 90 FY9 ZWI 28°50'36" JUN 28°50'36" A	VES 144 SED WAA 18°32'25" STI 24°32'25" A*	
	17:11	09:36	10:26	21:29	16:56	16:51	13:18	12:07	
MER 45 VEN KRE 02°11'49" STI 17°11'49" T K -1	JUP 45 PAL KRE 22°51'51" JUN 07°51'51" H* +5	JUP 90 ERI KRE 23°04'42" WID 23°04'41" A*	VEN 144 GaZ STI 20°57'12" SCH 26°57'13" T -2	VEN 30 ERI STI 23°05'46" WID 23°05'48" A	VEN 144 VES STI 24°16'36" WAA 18°16'37" H K ---	VEN 150 KN1 STI 25°17'13" WAA 18°17'13" H K ---	PAL 45 KN1 JUN 10°14'11" WAA 25°14'12" A*		
	18:33	15:58	12:45		23:24	21:53	16:01	12:31	
VEN 135 GSZ STI 17°15'51" WAA 02°15'51" H +2	PLU 135 JUN STE 12°47'43" STI 27°47'42" H* +10	MAR 90 PLU STE 12°46'31" STE 12°46'31" A		MAR 72 QUA WAA 13°46'22" SCH 25°46'22" A	VEN 0 SED STI 24°31'31" STI 24°31'31" H W +2	JUN 144 KN1 WAA 25°16'52" H ---	MER 72 PAL ZWI 28°14'33" JUN 10°14'32" A		
	20:37	21:49	14:28			18:31	17:56		
MAR 135 JUN WAA 12°19'36" STI 27°19'36" A	VEN 144 MAR STI 18°36'20" WAA 12°36'20" A W	SAT 30 VES SKO 17°39'35" WAA 17°39'35" H* +5				VEN 144 CER STI 25°32'41" WAA 19°32'40" A	MER 72 URA ZWI 28°06'51" WID 16°06'52" H +1		
	22:08		17:48			19:00	23:01		
VEN 150 VES STI 17°26'25" WAA 17°26'25" A		VEN 72 NEP STI 19°35'22" FIS 07°35'23" A W?				VEN 144 EL6 STI 25°34'07" WAA 19°34'06" A	VEN 150 GaZ STI 26°57'12" SCH 26°57'13" A		
		17:59				20:13			
		VEN 150 EL6 STI 19°35'55" WAA 19°35'56" H +2				VEN 60 VAR STI 25°37'43" KRE 25°37'43" H ---			
		19:13				22:21			
		SON 144 SAT ZWI 23°38'58" SKO 17°38'57" T -3				VEN 150 QUA STI 25°44'03" SCH 25°44'04" A			
		22:44				22:51			
		VEN 144 QUA STI 19°49'57" SCH 25°49'56" A				SON 0 MER ZWI 28°34'03" ZWI 28°34'03" H +1			
						23:32			
						CER 0 EL6 WAA 19°34'03" WAA 19°34'03" T* -10			

Juni 2014



**Prognose für SW-Deutschland
 mit Korrektur Quaoar-Aspekten
 vom 20.02.2014
 (rot hinterlegte Zellen)**

Der Juni 2014 beginnt mit Pal 0 Orc (bis zum 4.) und Qua 0 GaZ (bis zum 8.) und den entsprechenden Auslösungen, wobei die antizyklonale Auslösung von Kn1 60 Gaz im alternativen Index 3 weggelassen wurde.
 Vom 7. bis 9. ist Juno in Konjunktion mit Sedna.
 Am 8. beginnt Cer 0 Hau mit negativen Auslösungen, die den ganzen, restlichen Monat bestimmen. Am 21. tritt noch Vesta zu dieser Konjunktion hinzu, so dass vom 21. bis zum 27. eine Dreifachkonjunktion vorliegt.
 Ab dem 23. kommt Jupiter in Konjunktion mit Varuna und löst Var 150 QUA T* aus.

Langsamläufer-Impulse	H*	Ti*		H*		H*	T*		H*		
Schnellläufer-Impulse	T	H, T	T, Hf	H	2T, H	T	T, H	3T	H, T		
Temperaturimpulse	K			K, K?			W*	2W	W, K		
Premeteo-Index - zyklonal, + antizyklonal (Index 1+2+3)	-5	10	-20	-6	-14	-3	-43	-11	-3		
Pre.IX (ALTERNATIV)		-9									
Index 1 (12 - 12 UTC) exakte Aspekte des Tages	6	-9	-2	11	-4	0	-12	-1	3		
Index 1 (ALTERNATIV)											
Symmetrien (0 - 0 UTC)		Nep 3op Pal Orc (07) A* ? ? Ven 4 Jun Sed (11) H HW +14/0	Hau 0 Ves Cer (10) A* T* -7	Mer 1op Qua GaZ (04) A T -7	Son 8op Plu Qua (17) H A +7?	Ves 3op Ura Eri (05) A* H* +7 Son 8op Plu GaZ (10) H A +7? Mer 31 Var Sed (20) H T T*? (0,5/4) -14 Mer 31 Jup Sed (23) A T A* -7	Pal 5op Nep Chi (08) A* H* +7?	Ves 0 Hau Cer (00) A* H*? (4/1/2) ...	Hau 1 Mar Cer (07) H T* ? Hau 1 Mar Ves (22) H A* +7 Eri 46 Ven Nep (22) H ? T K ?		
Index 2 (12 -12 UTC)	0	14	-7	-7	0	7	-21	0	0		
Index 2 ALTERNATIV		0									
ausgelöste LL-Aspekte	Orc 45 Hau T-11	Hau 144 Sed H11 Orc 45 Hau T-11 Aust. Durch Index 2 Juno 120 GSZ H*+5	Hau 144 Sed H11 Orc 45 Hau T-11 Var 150 Qua T-11	Mer 30 Var H1 Hau 144 Sed H11 Orc 45 Hau T-11 Var 150 Qua T-11	Mer 30 Var H1 Hau 144 Sed H11 Orc 45 Hau T-11 Var 150 Qua T-11	Mer 30 Var H1 Hau 144 Sed H11 Orc 45 Hau T-11 Var 150 Qua T-11	Mer 30 Var H1 Hau 144 Sed H11 Orc 45 Hau T-11 Var 150 Qua T-11	Mer 30 Var H1 Hau 144 Sed H11 Orc 45 Hau T-11 Var 150 Qua T-11	Jun 90 Nep H5 Hau 144 Sed H11 Orc 45 Hau T-11 Var 150 Qua T-11	Jun 45 Eri H5 Hau 144 Sed H11 Orc 45 Hau T-11 Var 150 Qua T-11	
Index 3 (Summe)	-11	5	-11	-10	-10	-10	-10	-10	-6		
Index 3 ALTERNATIV		0									
Symbol-Prognose	3	3	5	3	5	3	5	5	3		
	3	3	5	3	5	3	5	5	3		
Wochentag	Sa	So	Mo	Di	Mi	Do	Fr	Sa	So		
Datum	21	22	23	24	25	26	27	28	29		
reale Wetterlage				T5: T*, 9T - 2H*, 1Hf, 4H / -100							H6: H*, H / +1
Luftdruck (hpa) 06 UTC	1019,3	1019,2	1020,3	1017,9	1011,5	1014,8	1015,9	1013,9	1007,5	1016,4	
mittl. Temp.(°C)	16,9	18,8	18,9	19,2	17	16,8	20,8	19,4	17,5	15,5	
Sonnenscheindauer (h)	14,9	12,8	9,4	11,3	12,3	14,9	8,7	1,4	1,3	3,4	
Niederschlag (Liter)	0	0	3,5 / 3	0	0	0	0	6,7 / 4	8,2 / 10	2,9 / 6	
Bodenwetterlage 00 UTC (Kernlage des Druckgebiets, das SW-D beeinflusst)	H westlich GB	H westlich GB	fl Trog von T zw Island u Schottland, H westl. GB	T ü Iber u W- Mm, T ü Balti Azor-H, 2.Kern w Irl	T ü GG, T ü Balti, H ü Nm	T ü S-Skand, H ü Nm, T ü GG	okkl T ü Irl, kl T-Zelle ü S- Skand, fl T ü Adria	okkl T ü GB u Nsee	T ü D	H ü GB, T ü GG	
Bodenströmung 12 UTC zyklonal (z), antizyklonal (a)	a	fl z	fl z	fl z	a-z	z	fl a	fl a	fl z	a-z	
Strömung auf 500 hpa 00 UTC	NW fl z	NW fl z	WNW a-z	W z	W z	NW a-z	W fl a	SW a-z	SW fl z	WSW z	
zutreffende Wettersymbole	2 hr	2 hr	2-3 f	2-3 r	2-3 hr	2 hr	3 hr	5 r	5 hr	3-5 hr	

08:40	08:48	07:38	05:02	02:19	09:30	03:46	02:04	06:41	08:51
JUN 120 GSZ ZWI 02°15'50" WAA 02°15'49" H* +5	MER 45 APO ZWI 27°13'02" LOW 12°13'02" A	VEN 72 CHI STI 29°45'19" FIS 17°45'19" A	VEN 135 MAR ZWI 00°48'55" WAA 15°48'55" A K	PLU 150 APO STE 12°31'17" LOW 12°31'17" A*	JUP 150 QUA KRE 25°36'29" SCH 25°36'29" T-2	VEN 90 ORC ZWI 04°19'23" JUN 04°19'23" A	MER 120 KN1 ZWI 24°50'07" WAA 24°50'07" A	VEN 0 JUN ZWI 06°51'06" ZWI 06°51'06" H+2	VEN 45 ERI ZWI 08°09'08" WID 23°09'07" H+2
11:09	09:07	18:46	05:47	04:04	20:07	06:59	06:47	07:24	08:58
JUP 60 SED KRE 24°33'13" STI 24°33'13" A*	VAR 150 QUA KRE 25°41'11" SCH 25°41'11" TF -11	SON 135 SAT KRE 02°13'21" SKO 17°13'21" T ---	VES 45 ORC WAA 19°17'05" JUN 04°17'05" A K	VES 135 JUN WAA 19°28'21" ZWI 04°28'21" A*	SON 72 ERI KRE 05°08'20" WID 23°08'21" T-3	JUP 0 VAR KRE 25°48'03" ZWI 25°48'03" T-12	VEN 135 CER ZWI 05°39'52" WAA 20°39'53" A W	SON 120 NEP KRE 07°29'45" FIS 07°29'45" A W	NEP 90 JUN FIS 07°29'05" ZWI 07°29'05" H* +5
12:16	13:24	19:48	09:23	07:04	20:37	08:07	13:26	09:12	
VEN 135 PLU STI 27°36'31" STE 12°36'33" A	VEN 120 FY9 STI 28°5'109" JUN 28°51'07" H+2	SON 90 GSZ KRE 02°15'49" WAA 02°15'49" HF +9	VEN 144 KN1 ZWI 01°01'51" WAA 25°01'51" A	JUN 135 EL6 ZWI 04°32'41" WAA 19°32'42" A*	CER 135 JUN WAA 20°27'04" ZWI 05°27'04" A*	VEN 135 EL6 ZWI 04°32'20" WAA 19°32'20" A	PLU 144 JUN STE 12°26'08" ZWI 06°26'09" A*	MAR 150 CHI WAA 17°43'24" FIS 17°43'23" A	
13:19	19:26	20:11	12:51	08:26	22:23	15:19	14:07	19:32	
MER 30 VEN ZWI 27°39'39" STI 27°39'38" T K ---	SAT 45 GSZ SKO 17°15'49" WAA 02°15'49" A*(10,5/6,5)	JUP 90 KN1 KRE 25°03'36" WAA 25°03'36" A	VEN 45 URA ZWI 01°12'09" WID 16°12'10" H K? +2	MAR 180 URA WAA 16°13'13" WID 16°13'13" T-8	PLU 120 PAL STE 12°28'33" JUN 12°28'33" H* +5	SON 30 JUN KRE 05°54'08" ZWI 05°54'08" A	SON 72 KN2 KRE 06°48'31" WID 24°48'31" T W-3	VEN 90 NEP ZWI 07°29'25" FIS 07°29'26" T K ---	
16:30	20:44	20:17	20:38	09:16		16:05	22:08		
MAR 72 GaZ WAA 14°57'13" SCH 26°57'13" A	MER 180 GaZ ZWI 26°57'13" SCH 26°57'13" T-2	VEN 72 APO ZWI 04°17'34" LOW 12°22'55" A	JUN 90 ORC ZWI 04°17'34" H* +5	MER 30 VAR ZWI 25°45'22" KRE 25°45'22" H+1		MAR 30 SAT WAA 17°04'16" SKO 17°04'16" A	VEN 144 PLU ZWI 06°25'37" STE 12°25'35" T ---		
18:37				10:15		17:48	23:34		
PAL 45 VAR JUN 10°40'21" KRE 25°40'21" A*				VEN 120 GSZ ZWI 02°15'48" WAA 02°15'49" T-2		VEN 135 VES ZWI 05°01'11" WAA 20°01'10" H+2	MER 30 SED ZWI 24°37'60" STI 24°37'60" T-1		
				12:25		22:56			
				VES 0 EL6 WAA 19°32'39" WAA 19°32'39" A*		PAL 30 APO JUN 12°50'24" LOW 12°50'23" A*			
				17:10		23:16			
				MER 180 QUA ZWI 25°37'17" SCH 25°37'17" A		APO 72 KN1 LOW 12°50'29" WAA 24°50'29" A* W*			
				23:12					
				SON 60 ORC KRE 04°18'27" JUN 04°18'26" A					
				23:28					
				MER 30 JUP ZWI 25°31'04" KRE 25°31'05" A					

02.07.2014
Juni 2014
01.06.2014

Prognose für SW-Deutschland
 mit Korrektur Quaoar-Aspekten
 am 20.2.2014
 (rot hinterlegte Zellen)
 zusätzliche Korrektur vom 8.-22. im Index
 3 am 02.07.2014

Der Juni 2014 beginnt mit Pal 0 Orc (bis zum 4.) und Qua 0 GaZ (bis zum 8.) und den entsprechenden Auslösungen, wobei die antizyklonale Auslösung von Kn1 60 GaZ im alternativen Index 3 weggelassen wurde.
 Vom 7. bis 9. ist Juno in Konjunktion mit Sedna.
 Am 8. beginnt Cer 0 Hau mit negativen Auslösungen, die den ganzen, restlichen Monat bestimmen. Am 21. tritt noch Vesta zu dieser Konjunktion hinzu, so dass vom 21. bis zum 27. eine Dreifachkonjunktion vorliegt.
 Ab dem 23. kommt Jupiter in Konjunktion mit Varuna und löst Var 150 Qua T* aus.

Langsamläufer-Impulse	H*			H*			T*	T*		
Schnellläufer-Impulse	H			H			Hf, 2H		T	H
Temperaturimpulse	W?*			W			K, W?	2K	2W	K
Premeteo-Index -zyklonal, + antizyklonal (Index 1+2+3)	-9	-6	5	3	2	9	12	-16	-8	6
Pre.IX (ALTERNATIV)	-19	-16	-5	-7	-11	-4				
Index 1 (12 - 12 UTC) exakte Aspekte des Tages	0	3	0	12	0	0	16	-10	-2	3
Index 1 (ALTERNATIV)										
Index 2 (12-12 UTC)	0	0	14	0	0	7	0	0	0	0
Index 2 ALTERNATIV										
ausgelöste LL-Aspekte	Orc 45 Hau T-11 Kn1 60 GaZ H13 (Kn2 120 GaZ H13) Var 150 Qua T*-11	Orc 45 Hau T-11 Kn1 60 GaZ H13 (Kn2 120 GaZ H13) Var 150 Qua T*-11	Orc 45 Hau T-11 Kn1 60 GaZ H13 (Kn2 120 GaZ H13) Var 150 Qua T*-11	Orc 45 Hau T-11 Kn1 60 GaZ H13 (Kn2 120 GaZ H13) Var 150 Qua T*-11	Kn1 60 GaZ H13 (Kn2 120 GaZ H13) Var 150 Qua T*-11	Kn1 60 GaZ H13 (Kn2 120 GaZ H13) Var 150 Qua T*-11	Cer 144 Sed H5 Var 60 Sed T-11 Ven 135 Qua T*+2	Cer 144 Sed H5 Var 60 Sed T-11 Orc 45 Hau T-11 Hau 144 Sed H*+11	Cer 144 Sed H5 Var 60 Sed T-11 Orc 45 Hau T-11 Hau 144 Sed H*+11	Son 120 Hau H3 Orc 45 Hau T-11 Hau 144 Sed H*+11
Index 3 (Summe)	-9	-9	-9	-9	2	2	-4	-6	-6	3
Index 3 ALTERNATIV	-19	-19	-19	-19	-11	-11				
Symbol-Prognose	3	3	3	3	3	3	2	5	3	3
Symbol-Prognose altern.	5	5	3	3	3	3	2	5	3	3
Wochentag	So	Mo	Di	Mi	Do	Fr	Sa	So	Mo	Di
Datum	1	2	3	4	5	6	7	8	9	10
reale Wetterlage	H1: H*, H / -9	T1: - / -6	H2: +5	T2: H*, H / +3	H3: Hf, 2H - 2T*, T / -23					T3: H / -5
Luftdruck (hpa) 06 UTC	1020,3	1018,9	1016,5	1009,8	1015,6	1017,7	1016,6	1017,4	1017,1	1017,8
mittl. Temp.(°C)	16	13,9	17,1	15,6	15,9	19,1	23,7	25,8	28,2	26,6
Sonnenscheindauer (h)	4,9	7,8	8,1	2,2	10,1	14,2	13,6	14,5	14,3	9,6
Niederschlag (Liter)	0	0	0	2,5	0	0	0	0	0,2	0
Bodenwetterlage 00 UTC (Kernlage des Druckgebiets, das SW-D beeinflusst)	Azorenhoch	fl T-p von Mittelmeerraum	H ü Alpen	Okklusion ü Ärmel	H ü Bisk	H ü S-D	H mit Kern ü N-Polen u N-Italien	H ü Alpen, H ü Polen	H ü Alpen u Polen, H ü Bisk	T ü GB, fl Trog ü N- u W-D
Bodenströmung 12 UTC zyklonal (z), antizyklonal (a)	z	z	fl a	fl z	fl a	a-z	a-z	z	a-z	a-z
Strömung auf 500 hpa 00 UTC	N a-z	NW z	NW a-z	W a-z	SW z	W a-z	Sw fl a	SW a	SW a	a
zutreffende Wettersymbole	3-5 hr	3 r	3 r	3-5 r	2 hr	2 hr	2 r	2 f	2 hr	2 hr

Übertrag: 04:30 05:22 06:48 13:17 03:06 01:45 00:57 06:24 01:41 03:36

Index 1: 0
 Index 2: 0

PAL 0 ORC JUN 04*04'48" H* ---	VEN 144 FY9 STI 04*51'22" JUN 04*04'48" A	PAL 45 EL6 JUN 04*41'59" WAA 19*41'59" A*	VEN 60 NEP STI 07*35'20" FIS 07*35'19" HW +2	VEN 144 GSZ STI 08*15'53" WAA 02*15'53" A W	VEN 72 JUP STI 09*22'24" KRE 21*22'24" A	VEN 90 APO STI 10*30'35" LÖW 10*30'35" HF K+8 A W	VEN 135 GaZ STI 11*57'11" SCH 26*57'11" A W	VEN 120 PLU STI 12*53'56" STE 12*53'57" K T-2 A W?	MER 135 SAT KRE 02*54'30" SKO 17*54'30" A W?
VEN 120 ORC STI 04*04'53" JUN 04*04'55" A	MER 90 GSZ KRE 02*15'53" WAA 02*15'53" A	SON 150 PLU ZWI 13*00'53" STE 13*00'54" A	VES 144 JUN WAA 16*40'21" STI 22*40'21" H* +10 ↑	JUN 30 ERI STI 23*01'11" WID 23*01'11" A*	SON 60 URA ZWI 15*41'21" WID 15*41'21" A K	VEN 135 QUA STI 10*58'43" SCH 25*58'43" H+4	CER 144 JUN WAA 18*40'24" STI 24*40'23" T* -5	VEN 72 VAR STI 13*24'15" KRE 25*24'16" A	JUN 150 KN1 STI 25*46'56" WAA 25*46'56" A*
VEN 120 PAL STI 04*13'35" JUN 04*13'34" A				QUA 60 KN1 SCH 26*00'26" WAA 26*00'26" A*	MER 135 SAT KRE 03*07'43" SKO 18*07'43" A W?	VEN 150 MAR STI 11*03'37" WAA 11*03'36" HK +4	SON 90 CHI ZWI 17*41'34" FIS 17*41'35" A W	JUN 60 VAR STI 25*24'20" KRE 25*24'20" A*	JUN 150 QUA STI 25*55'13" SCH 25*55'13" A*
SON 135 KN1 ZWI 11*13'36" WAA 26*13'35" H+3						SAT 72 PAL SKO 18*03'11" JUN 06*03'10" T* -5	SON 150 SAT SKO 17*59'02" A	SON 120 CER WAA 18*44'08" A	SON 120 EL6 ZWI 19*37'49" WAA 19*37'50" H+3
JUN 144 GaZ STI 20*57'10" SCH 26*57'09" A* W?*						SON 120 VES ZWI 16*53'23" WAA 16*53'24" A	VEN 135 FY9 STI 13*50'16" JUN 28*50'15" A	QUA 135 APO SCH 25*54'56" LÖW 10*54'56" A*	
						JUN 0 SED STI 24*23'41" STI 24*23'41" A*		JUN 144 EL6 STI 25*38'10" WAA 19*38'09" A*	

Juni 2014



Prognose für SW-Deutschland
 mit Korrektur Quaoar-Aspekten
 am 20.2.2014
 (rot hinterlegte Zellen)
 zusätzliche Korrektur vom 8.-22. im Index
 3 am 02.07.2014

Der Juni 2014 beginnt mit Pal 0 Orc (bis zum 4.) und Qua 0 GaZ (bis zum 8.) und den entsprechenden Auslösungen, wobei die antizyklonale Auslösung von Kn1 60 Gaz im alternativen Index 3 weggelassen wurde.
 Vom 7. bis 9. ist Juno in Konjunktion mit Sedna.
 Am 8. beginnt Cer 0 Hau mit negativen Auslösungen, die den ganzen, restlichen Monat bestimmen. Am 21. tritt noch Vesta zu dieser Konjunktion hinzu, so dass vom 21. bis zum 27. eine Dreifachkonjunktion vorliegt.
 Ab dem 23. kommt Jupiter in Konjunktion mit Varuna und löst Var 150 QUA T* aus.

Langsamläufer-Impulse		H*	2H*	H*	H?*				2T*, H*	H*
Schnellläufer-Impulse		T, H		3T, H	T				T, 4H	2H
Temperaturimpulse		W*	K, W	K		W	W	2W	K	
Premeteo-Index -zyklonal, + antizyklonal (Index 1+2+3)	3	5	13	9	10	-2	0	-7	5	2
Pre.IX (ALTERNATIV)	-11				6			0		9
Index 1 (12 - 12 UTC) exakte Aspekte des Tages	0	5	6	7	15	-2	0	0	0	6
Index 1(ALTERNATIV)					4					
Index 2 (12-12 UTC)	0	0	7	0	-7	0	0	-7	0	-7
Index 2 ALTERNATIV	-14				0			0		0
ausgelöste LL-Aspekte	Son 120 Hau H3 Orc 45 Hau T-11 Hau 144 Sed H* +11	Orc 45 Hau T-11 Hau 144 Sed H* +11	Orc 45 Hau T-11 Hau 144 Sed H* +11	Ven 150 Hau H2 Orc 45 Hau T-11 Hau 144 Sed H* +11	Ven 150 Hau H2 Orc 45 Hau T-11 Hau 144 Sed H* +11	Orc 45 Hau T-11 Hau 144 Sed H* +11	Orc 45 Hau T-11 Hau 144 Sed H* +11	Orc 45 Hau T-11 Hau 144 Sed H* +11	Cer 144 Sed H5 Orc 45 Hau T-11 Hau 144 Sed H* +11	Son 90 Mak H3 Orc 45 Hau T-11 Hau 144 Sed H* +11
Index 3 (Summe)	3	0	0	2	2	0	0	0	5	3
Index 3 ALTERNATIV										
Symbol-Prognose	3	3	2	3	2	3	3	3	3	3
Wochentag	Mi	Do	Fr	Sa	So	Mo	Di	Mi	Do	Fr
Datum	11	12	13	14	15	16	17	18	19	20
reale Wetterlage	H4: 3H*, H - T / -12			T4: 4T - H*, H?, H / -27				H5: 3H*, 7H - T*, 2T*, 3T / -28		
Luftdruck (hpa) 06 UTC	1022,4	1024,2	1020,5	1018,1	1019,6	1019,6	1019	1019	1019,1	1018,1
mittl. Temp.(°C)	24,6	23,1	21,1	17,2	17,4	17,8	16,2	19,2	18,2	16,6
Sonnenscheindauer (h)	13,6	11,6	11,1	9,2	9,2	12,2	10,4	11,6	10,8	4,1
Niederschlag (Liter)	0	0	0	0	0	0	0,5	0,5	0	0
Bodenwetterlage 00 UTC (Kernlage des Druckgebiets, das SW-D beeinflusst)	H ü W-F	H ü GB	H ü GB	fl Trog von Isl ü GB, Benel, D H ü O-Atl	H ü O-Atl-GB, T ü M-Mm	fl T ü M-Mm, H ü O-Atl-GB	SW-D zw H ü GB u T ü ThyrrM rei mittags ü SW-D	H westlich GB	H westlich GB	H westlich GB
Bodenströmung 12 UTC zyklonal (z), antizyklonal (a)	fl a	a-z	a	a-z	fl z	fl z	fl z	a-z	a	a-z
Strömung auf 500 hpa 00 UTC	Swa	a	NW fl z	NW z	NO fl z	NO fl z	N fl z	fl z	fl z	NW fl z
zutreffende Wettersymbole	2-3 hr	3 r	2 r	3 r	3 hr	2-3 hr	3 r	3 r	2 hr	3 r

VEN 30 URA STI 15°51'26" WID 15°51'26" A	13:56	JUP 135 NEP KRE 22°35'41" FIS 07°35'41" A* W*	02:13	VEN 60 CHI STI 17°44'02" FIS 17°44'02" A	04:06	PAL 135 ERI JUN 08°04'33" WID 23°04'33" A*	01:10	VAR 90 KN1 KRE 25°31'24" WAA 25°31'24" H?*(9,5/4,5) +110	02:14	CER 45 ORC WAA 19°11'37" JUN 04°11'37" A*	05:27	CHI 72 JUN FIS 17°45'11" STI 29°45'11" A*	00:52	SON 45 APO ZWI 26°44'02" LÖW 11°44'03" A	00:45	SON 72 PAL ZWI 27°45'39" JUN 09°45'39" T --	02:34	Gaz 135 APO SCH 26°57'13" LÖW 11°57'13" H* +12	00:01
JUN 150 GaZ STI 26°57'12" WAA 02°15'51" H* +5	05:12	SAT 120 CHI SKO 17°44'03" FIS 17°44'03" A*	05:12	VEN 180 SAT STI 17°44'14" SKO 17°44'14" A K	04:10	SON 30 JUP ZWI 23°01'01" KRE 23°01'00" T K -3	03:19	CHI 150 VES FIS 17°44'45" WAA 17°44'45" A*	05:20	SON 120 KN1 ZWI 25°26'21" WAA 25°26'22" A W	06:12	SON 180 QUA ZWI 25°47'28" SCH 25°47'28" A	01:03	CHI 144 APO FIS 17°45'23" LÖW 11°45'23" A*	05:31	URA 45 JUN WID 16°04'42" ZWI 01°04'41" T* -5	07:38	URA 144 PAL WID 16°05'53" JUN 10°05'53" A*	02:23
MER 90 GSZ KRE 02°15'51" WAA 02°15'51" A	12:35	SAT 120 CHI SKO 17°44'03" FIS 17°44'03" A*	05:27	SON 60 ERI ZWI 23°04'35" WID 23°04'36" A	04:49	JUN 120 FY9 STI 28°50'14" JUN 28°50'13" A*	11:01	JUN 72 APO STI 29°35'33" LÖW 11°35'33" A*	18:14	MAR 144 NEP WAA 13°34'52" FIS 07°34'52" A W	08:07	SON 180 GaZ ZWI 26°57'12" SCH 26°57'13" H +3	06:16	SON 72 URA ZWI 28°04'54" WID 16°04'53" H +3	10:38	SON 90 FY9 ZWI 28°50'42" JUN 28°50'43" H +3	05:50		
VEN 150 VES STI 19°01'50" WAA 19°01'49" T --	13:35	SON 72 ORC ZWI 22°09'54" JUN 04°09'54" A*	05:55	VEN 150 CER STI 19°01'50" WAA 19°01'49" T --	06:27	SON 30 SED ZWI 24°29'18" STI 24°29'18" A	16:18	SON 30 VAR ZWI 25°33'38" KRE 25°33'38" A	19:15	MER 30 JUN ZWI 29°59'18" STI 29°59'19" A	10:36	MER 60 JUP ZWI 23°54'12" KRE 23°54'12" A W	09:17	MER 90 FY9 ZWI 28°50'36" JUN 28°50'36" A	11:18	VEN 144 SED WID 16°05'53" STI 24°32'25" A*	06:13		
MER 45 VEN KRE 02°11'49" STI 17°11'49" T K -1	17:11	JUP 45 PAL KRE 22°51'51" JUN 07°51'51" H* +5	09:36	JUP 90 ERI WID 23°04'41" A*	10:26	VEN 144 Gaz STI 20°57'12" SCH 26°57'13" T -2	21:29	VEN 30 ERI STI 23°05'46" WID 23°05'48" A	16:56	VEN 144 VES STI 24°16'36" WAA 18°16'37" A	16:51	VEN 150 KN1 WAA 25°17'13" H K --	16:51	PAL 45 KN1 JUN 10°14'11" WAA 25°14'12" A*	13:18	VEN 144 VES STI 23°05'46" WID 23°05'48" A	12:07		
VEN 135 GSZ STI 17°15'51" WAA 02°15'51" H +2	18:33	PLU 135 JUN STE 12°47'43" STI 27°47'42" H* +10	15:58	MAR 90 PLU WAA 12°46'31" STE 12°46'31" A	12:45	MAR 72 QUA WAA 13°46'22" SCH 25°46'22" A	23:24	VEN 0 SED STI 24°31'31" STI 24°31'31" H W +2	21:53	JUN 144 KN1 WAA 25°16'52" H* --	21:53	MER 72 PAL ZWI 28°14'33" JUN 10°14'32" A	16:01	MER 72 PAL ZWI 28°14'33" JUN 10°14'32" A	12:31				
MAR 135 JUN WAA 12°19'36" STI 27°19'36" A	20:37	VEN 144 MAR STI 18°36'20" WAA 12°36'20" A W	21:49	SAT 30 VES SKO 17°39'35" WAA 17°39'35" H* +5	14:28	VEN 144 CER STI 25°32'41" WAA 19°32'40" A	18:31	VEN 144 EL6 STI 25°34'07" WAA 19°34'06" A	17:56	MER 72 URA ZWI 28°06'51" WID 16°06'52" H +1	18:31	VEN 150 QUA STI 25°44'03" SCH 25°44'04" A	17:56	MER 72 URA ZWI 28°06'51" WID 16°06'52" H +1	17:56				
VEN 150 VES STI 17°26'25" WAA 17°26'25" A	22:08	VEN 72 NEP STI 19°35'22" FIS 07°35'23" A W?	17:48	VEN 150 EL6 STI 19°35'55" WAA 19°35'56" H +2	19:13	VEN 144 EL6 STI 25°34'07" WAA 19°34'06" A	22:21	VEN 150 QUA STI 25°44'03" SCH 25°44'04" A	22:51	VEN 60 VAR STI 25°37'43" KRE 25°37'43" H --	22:51	VEN 150 QUA STI 25°44'03" SCH 25°44'04" A	22:51	VEN 150 QUA STI 25°44'03" SCH 25°44'04" A	22:51				
VEN 150 VES STI 17°26'25" WAA 17°26'25" A	22:08	VEN 72 NEP STI 19°35'22" FIS 07°35'23" A W?	17:48	VEN 150 EL6 STI 19°35'55" WAA 19°35'56" H +2	19:13	VEN 144 EL6 STI 25°34'07" WAA 19°34'06" A	22:21	VEN 150 QUA STI 25°44'03" SCH 25°44'04" A	22:51	VEN 60 VAR STI 25°37'43" KRE 25°37'43" H --	22:51	VEN 150 QUA STI 25°44'03" SCH 25°44'04" A	22:51	VEN 150 QUA STI 25°44'03" SCH 25°44'04" A	22:51				
VEN 150 VES STI 17°26'25" WAA 17°26'25" A	22:08	VEN 72 NEP STI 19°35'22" FIS 07°35'23" A W?	17:48	VEN 150 EL6 STI 19°35'55" WAA 19°35'56" H +2	19:13	VEN 144 EL6 STI 25°34'07" WAA 19°34'06" A	22:21	VEN 150 QUA STI 25°44'03" SCH 25°44'04" A	22:51	VEN 60 VAR STI 25°37'43" KRE 25°37'43" H --	22:51	VEN 150 QUA STI 25°44'03" SCH 25°44'04" A	22:51	VEN 150 QUA STI 25°44'03" SCH 25°44'04" A	22:51				
VEN 150 VES STI 17°26'25" WAA 17°26'25" A	22:08	VEN 72 NEP STI 19°35'22" FIS 07°35'23" A W?	17:48	VEN 150 EL6 STI 19°35'55" WAA 19°35'56" H +2	19:13	VEN 144 EL6 STI 25°34'07" WAA 19°34'06" A	22:21	VEN 150 QUA STI 25°44'03" SCH 25°44'04" A	22:51	VEN 60 VAR STI 25°37'43" KRE 25°37'43" H --	22:51	VEN 150 QUA STI 25°44'03" SCH 25°44'04" A	22:51	VEN 150 QUA STI 25°44'03" SCH 25°44'04" A	22:51				
VEN 150 VES STI 17°26'25" WAA 17°26'25" A	22:08	VEN 72 NEP STI 19°35'22" FIS 07°35'23" A W?	17:48	VEN 150 EL6 STI 19°35'55" WAA 19°35'56" H +2	19:13	VEN 144 EL6 STI 25°34'07" WAA 19°34'06" A	22:21	VEN 150 QUA STI 25°44'03" SCH 25°44'04" A	22:51	VEN 60 VAR STI 25°37'43" KRE 25°37'43" H --	22:51	VEN 150 QUA STI 25°44'03" SCH 25°44'04" A	22:51	VEN 150 QUA STI 25°44'03" SCH 25°44'04" A	22:51				
VEN 150 VES STI 17°26'25" WAA 17°26'25" A	22:08	VEN 72 NEP STI 19°35'22" FIS 07°35'23" A W?	17:48	VEN 150 EL6 STI 19°35'55" WAA 19°35'56" H +2	19:13	VEN 144 EL6 STI 25°34'07" WAA 19°34'06" A	22:21	VEN 150 QUA STI 25°44'03" SCH 25°44'04" A	22:51	VEN 60 VAR STI 25°37'43" KRE 25°37'43" H --	22:51	VEN 150 QUA STI 25°44'03" SCH 25°44'04" A	22:51	VEN 150 QUA STI 25°44'03" SCH 25°44'04" A	22:51				
VEN 150 VES STI 17°26'25" WAA 17°26'25" A	22:08	VEN 72 NEP STI 19°35'22" FIS 07°35'23" A W?	17:48	VEN 150 EL6 STI 19°35'55" WAA 19°35'56" H +2	19:13	VEN 144 EL6 STI 25°34'07" WAA 19°34'06" A	22:21	VEN 150 QUA STI 25°44'03" SCH 25°44'04" A	22:51	VEN 60 VAR STI 25°37'43" KRE 25°37'43" H --	22:51	VEN 150 QUA STI 25°44'03" SCH 25°44'04" A	22:51	VEN 150 QUA STI 25°44'03" SCH 25°44'04" A	22:51				
VEN 150 VES STI 17°26'25" WAA 17°26'25" A	22:08	VEN 72 NEP STI 19°35'22" FIS 07°35'23" A W?	17:48	VEN 150 EL6 STI 19°35'55" WAA 19°35'56" H +2	19:13	VEN 144 EL6 STI 25°34'07" WAA 19°34'06" A	22:21	VEN 150 QUA STI 25°44'03" SCH 25°44'04" A	22:51	VEN 60 VAR STI 25°37'43" KRE 25°37'43" H --	22:51	VEN 150 QUA STI 25°44'03" SCH 25°44'04" A	22:51	VEN 150 QUA STI 25°44'03" SCH 25°44'04" A	22:51				
VEN 150 VES STI 17°26'25" WAA 17°26'25" A	22:08	VEN 72 NEP STI 19°35'22" FIS 07°35'23" A W?	17:48	VEN 150 EL6 STI 19°35'55" WAA 19°35'56" H +2	19:13	VEN 144 EL6 STI 25°34'07" WAA 19°34'06" A	22:21	VEN 150 QUA STI 25°44'03" SCH 25°44'04" A	22:51	VEN 60 VAR STI 25°37'43" KRE 25°37'43" H --	22:51	VEN 150 QUA STI 25°44'03" SCH 25°44'04" A	22:51	VEN 150 QUA STI 25°44'03" SCH 25°44'04" A	22:51				
VEN 150 VES STI 17°26'25" WAA 17°26'25" A	22:08	VEN 72 NEP STI 19°35'22" FIS 07°35'23" A W?	17:48	VEN 150 EL6 STI 19°35'55" WAA 19°35'56" H +2	19:13	VEN 144 EL6 STI 25°34'07" WAA 19°34'06" A	22:21	VEN 150 QUA STI 25°44'03" SCH 25°44'04" A	22:51	VEN 60 VAR STI 25°37'43" KRE 25°37'43" H --	22:51	VEN 150 QUA STI 25°44'03" SCH 25°44'04" A	22:51	VEN 150 QUA STI 25°44'03" SCH 25°44'04" A	22:51				
VEN 150 VES STI 17°26'25" WAA 17°26'25" A	22:08	VEN 72 NEP STI 19°35'22" FIS 07°35'23" A W?	17:48	VEN 150 EL6 STI 19°35'55" WAA 19°35'56" H +2	19:13	VEN 144 EL6 STI 25°34'07" WAA 19°34'06" A	22:21	VEN 150 QUA STI 25°44'03" SCH 25°44'04" A	22:51	VEN 60 VAR STI 25°37'43" KRE 25°37'43" H --	22:51	VEN 150 QUA STI 25°44'03" SCH 25°44'04" A	22:51	VEN 150 QUA STI 25°44'03" SCH 25°44'04" A	22:51				
VEN 150 VES STI 17°26'25" WAA 17°26'25" A	22:08	VEN 72 NEP STI 19°35'22" FIS 07°35'23" A W?	17:48	VEN 150 EL6 STI 19°35'55" WAA 19°35'56" H +2	19:13	VEN 144 EL6 STI 25°34'07" WAA 19°34'06" A	22:21	VEN 150 QUA STI 25°44'03" SCH 25°44'04" A	22:51	VEN 60 VAR STI 25°37'43" KRE 25°37'43" H --	22:51	VEN 150 QUA STI 25°44'03" SCH 25°44'04" A	22:51	VEN 150 QUA STI 25°44'03" SCH 25°44'04" A	22:51				
VEN 150 VES STI 17°26'25" WAA 17°26'25" A	22:08	VEN 72 NEP STI 19°35'22" FIS 07°35'23" A W?	17:48	VEN 150 EL6 STI 19°35'55" WAA 19°35'56" H +2	19:13	VEN 144 EL6 STI 25°34'07" WAA 19°34'06" A	22:21	VEN 150 QUA STI 25°44'03" SCH 25°44'04" A	22										

Juni 2014



**Prognose für SW-Deutschland
 mit Korrektur Quaoar-Aspekten
 am 20.2.2014
 (rot hinterlegte Zellen)
 zusätzliche Korrektur vom 8.-22. im Index
 3 am 02.07.2014**

Der Juni 2014 beginnt mit Pal 0 Orc (bis zum 4.) und Qua 0 GaZ (bis zum 8.) und den entsprechenden Auslösungen, wobei die antizyklonale Auslösung von Kn1 60 GaZ im alternativen Index 3 weggelassen wurde.
 Vom 7. bis 9. ist Juno in Konjunktion mit Sedna.
 Am 8. beginnt Cer 0 Hau mit negativen Auslösungen, die den ganzen, restlichen Monat bestimmen. Am 21. tritt noch Vesta zu dieser Konjunktion hinzu, so dass vom 21. bis zum 27. eine Dreifachkonjunktion vorliegt.
 Ab dem 23. kommt Jupiter in Konjunktion mit Varuna und löst Var 150 QUA T* aus.

Langsamläufer-Impulse	H*	T1*		H*		H*	T*		H*	
Schnellläufer-Impulse	T	H, T	T, Hf	H	2T, H	T	T, H	3T	H, T	
Temperaturimpulse	K			K, K?			W*	2W	W, K	
Premeteo-Index - zyklonal, + antizyklonal (Index 1+2+3)	6	21	-20	-6	-14	-3	-43	-11	-3	
Pre.IX (ALTERNATIV)		-9								
Index 1 (12 - 12 UTC) exakte Aspekte des Tages	6	-9	-2	11	-4	0	-12	-1	3	
Index 1 (ALTERNATIV)										
Index 2 (12 -12 UTC)	0	14	-7	-7	0	7	-21	0	0	
Index 2 ALTERNATIV		0								
ausgelöste LL-Aspekte	Orc 45 Hau T-11 Hau 144 Sed H* +11	Hau 144 Sed H11 Orc 45 Hau T-11 Aust. Durch Index 2: Juno 120 GSZ H*+5 Hau 144 Sed H* +11	Hau 144 Sed H11 Orc 45 Hau T-11 Var 150 Qua T-11	Mer 30 Var H1 Hau 144 Sed H11 Orc 45 Hau T-11 Var 150 Qua T-11	Mer 30 Var H1 Hau 144 Sed H11 Orc 45 Hau T-11 Var 150 Qua T-11	Mer 30 Var H1 Hau 144 Sed H11 Orc 45 Hau T-11 Var 150 Qua T-11	Mer 30 Var H1 Hau 144 Sed H11 Orc 45 Hau T-11 Var 150 Qua T-11	Mer 30 Var H1 Hau 144 Sed H11 Orc 45 Hau T-11 Var 150 Qua T-11	Jun 90 Nep H5 Hau 144 Sed H11 Orc 45 Hau T-11 Var 150 Qua T-11	Jun 45 Eri H5 Hau 144 Sed H11 Orc 45 Hau T-11 Var 150 Qua T-11
Index 3 (Summe)	0	16	-11	-10	-10	-10	-10	-10	-6	
Index 3 ALTERNATIV		0								
Symbol-Prognose	3	2	5	3	5	3	5	5	3	
Wochentag Datum	Sa 21	So 22	Mo 23	Di 24	Mi 25	Do 26	Fr 27	Sa 28	So 29	Mo 30
reale Wetterlage			T5: T*, 9T - 2H*, 1Hf, 4H / -100							H6: H*, H / +1
Luftdruck (hpa) 06 UTC	1019,3	1019,2	1020,3	1017,9	1011,5	1014,8	1015,9	1013,9	1007,5	1016,4
mittl. Temp.(°C)	16,9	18,8	18,9	19,2	17	16,8	20,8	19,4	17,5	15,5
Sonnenscheindauer (h)	14,9	12,8	9,4	11,3	12,3	14,9	8,7	1,4	1,3	3,4
Niederschlag (Liter)	0	0	3,5 / 3	0	0	0	0	6,7 / 4	8,2 / 10	2,9 / 6
Bodenwetterlage 00 UTC (Kernlage des Druckgebiets, das SW-D beeinflusst)	H westlich GB	H westlich GB	fl Trog von T zw Island u Schottland, H westl. GB	T ü Iber u W- Mm, T ü Balti Azor-H, 2.Kern w Irl	T ü GG, T ü Balti, H ü Nm	T ü S-Skand, H ü Nm, T ü GG	okkl T ü Irl, ki T-Zelle ü S- Skand, fl T ü Adria	okkl T ü GB u Nsee	T ü D	H ü GB, T ü GG
Bodenströmung 12 UTC zyklonal (z), antizyklonal (a)	a	fl z	fl z	fl z	a-z	z	fl a	fl a	fl z	a-z
Strömung auf 500 hpa 00 UTC	NW fl z	NW fl z	WNW a-z	W z	W z	NW a-z	W fl a	SW a-z	SW fl z	WSW z
zutreffende Wettersymbole	2 hr	2 r	2-3 f	2-3 r	2-3 hr	2 hr	3 hr	5 r	5 hr	3-5 hr

08:40 JUN 120 GSZ ZWI 02°15'50" WAA 02°15'49" H* +5	08:48 MER 45 APO ZWI 27°13'02" LÖW 12°13'02" A	07:38 VEN 72 CHI STI 29°45'19" FIS 17°45'19" A	05:02 VEN 135 MAR ZWI 00°48'55" WAA 15°48'55" A K	02:19 PLU 150 APO STE 12°31'17" LÖW 12°31'17" A*	09:30 JUP 150 QUA KRE 25°36'29" SCH 25°36'29" A*	03:46 VEN 90 ORC ZWI 04°19'23" JUN 04°19'23" T-2	02:04 MER 120 KNI ZWI 24°50'07" WAA 24°50'07" A	06:41 VEN 0 JUN ZWI 06°51'06" WID 23°09'07" H +2	08:51 VEN 45 ERI ZWI 08°09'08" WID 23°09'07" H +2
11:09 JUP 60 SED KRE 24°33'13" STI 24°33'13" A*	09:07 VAR 150 QUA KRE 25°41'11" SCH 25°41'11" T* -11	18:46 SON 135 SAT KRE 02°13'21" SKO 17°13'21" T ---	05:47 VES 45 ORC WAA 19°17'05" JUN 04°17'05" A*	04:04 VES 135 JUN WAA 19°28'21" ZWI 04°28'21" A*	20:07 SON 72 ERI KRE 05°08'20" WID 23°08'21" T-3	06:59 JUP 0 VAR KRE 25°48'03" KRE 25°48'03" T* -12	06:47 VEN 135 CER ZWI 05°39'52" WAA 20°39'53" A W	07:24 SON 120 NEP KRE 07°29'45" FIS 07°29'45" A W	08:58 NEP 90 JUN FIS 07°29'05" ZWI 07°29'05" H* +5
12:16 VEN 135 VEN STI 27°36'31" STE 12°36'33" A	13:24 VEN 120 FY9 STI 28°51'09" JUN 28°51'07" H +2	19:48 SON 90 GSZ KRE 02°15'49" WAA 25°01'51" Hf +9	09:23 VEN 144 KNI ZWI 01°01'51" WAA 25°01'51" A*	07:04 JUN 135 EL6 ZWI 04°32'41" WAA 19°32'42" A*	20:37 CER 135 JUN WAA 20°27'04" ZWI 05°27'04" A*	08:07 VEN 135 EL6 ZWI 04°32'20" WAA 19°32'20" A*	13:26 PLU 144 JUN STE 12°26'08" ZWI 06°26'09" A*	09:12 MAR 150 CHI WAA 17°43'24" FIS 17°43'23" A	
13:19 MER 30 VEN ZWI 17°39'39" STI 27°39'38" T K ---	19:26 SAT 45 GSZ SKO 17°15'49" WAA 02°15'49" A*(10,5/6,5)	20:11 JUP 90 KNI KRE 25°03'36" WAA 25°03'36" A*	12:51 VEN 45 URA ZWI 01°12'09" WID 16°12'10" H K? +2	08:26 MAR 180 URA WAA 16°13'13" STE 12°28'33" T-8	22:23 PLU 120 PAL STE 12°28'33" JUN 12°28'33" H* +5	15:19 SON 30 JUN KRE 05°54'08" ZWI 05°54'09" A	14:07 SON 72 KN2 KRE 06°48'31" WID 24°48'31" T W -3	19:32 VEN 90 NEP ZWI 07°29'25" FIS 07°29'26" T K ---	
16:30 MAR 72 GaZ WAA 14°57'13" SCH 26°57'13" A	20:44 MER 180 GaZ ZWI 26°57'13" SCH 26°57'13" T-2	20:17 VEN 72 APO ZWI 00°22'54" LÖW 12°22'55" A	20:38 JUN 90 ORC ZWI 04°17'34" JUN 04°17'34" H* +5	09:16 MER 30 VAR ZWI 25°45'22" KRE 25°45'22" H +1	16:05 MAR 30 SAT WAA 17°04'16" SKO 17°04'16" A	22:08 VEN 144 PLU ZWI 06°25'37" STE 12°25'35" T ---	17:48 VEN 135 VES ZWI 05°01'11" WAA 20°01'10" H +2	23:34 MER 30 SED ZWI 24°37'60" STI 24°37'60" T-1	
18:37 PAL 45 VAR JUN 10°40'21" KRE 25°40'21" A*				10:15 VEN 120 GSZ ZWI 02°15'48" WAA 02°15'49" T-2	12:25 VES 0 EL6 WAA 19°32'39" LÖW 12°50'23" A*	22:56 PAL 30 APO JUN 12°50'24" LÖW 12°50'23" A*	23:16 APO 72 KNI LÖW 12°50'29" WAA 24°50'29" A* W*		
				23:12 SON 60 ORC KRE 04°18'27" JUN 04°18'26" A	23:28 MER 30 JUP ZWI 25°31'04" KRE 25°31'05" A				